

Starkniederschlagshöhen und -spenden gemäß KOSTRA-DWD-2010R

Auswertungszeitraum von 1951 - 2010, Januar - Dezember

Rasterfeld: 72011

Zeile: 72

Spalte: 11

Seite: 1/2

| Dauerstufe D | Wiederkehrzeit T | | | | | | | | | | | | | | | | | | |
|--------------|------------------|------|------------|------|------------|------|------------|------|------------|-------|------------|-------|------------|-------|------------|-------|------------|-------|------------|
| | 1 a | | 2 a | | 3 a | | 5 a | | 10 a | | 20 a | | 30 a | | 50 a | | 100 a | | |
| min | Std | mm | l / (s ha) | mm | l / (s ha) | mm | l / (s ha) | mm | l / (s ha) | mm | l / (s ha) | mm | l / (s ha) | mm | l / (s ha) | mm | l / (s ha) | mm | l / (s ha) |
| 5 | | 4,6 | 153,3 | 6,2 | 206,7 | 7,2 | 240,0 | 8,4 | 280,0 | 10,1 | 336,7 | 11,8 | 393,3 | 12,8 | 426,7 | 14,0 | 466,7 | 15,7 | 523,3 |
| 10 | | 7,4 | 123,3 | 9,6 | 160,0 | 10,9 | 181,7 | 12,6 | 210,0 | 14,8 | 246,7 | 17,0 | 283,3 | 18,4 | 306,7 | 20,0 | 333,3 | 22,2 | 370,0 |
| 15 | | 9,3 | 103,3 | 11,9 | 132,2 | 13,5 | 150,0 | 15,5 | 172,2 | 18,1 | 201,1 | 20,7 | 230,0 | 22,3 | 247,8 | 24,3 | 270,0 | 26,9 | 298,9 |
| 20 | | 10,7 | 89,2 | 13,7 | 114,2 | 15,4 | 128,3 | 17,6 | 146,7 | 20,6 | 171,7 | 23,6 | 196,7 | 25,3 | 210,8 | 27,6 | 230,0 | 30,5 | 254,2 |
| 30 | | 12,5 | 69,4 | 16,1 | 89,4 | 18,2 | 101,1 | 20,8 | 115,6 | 24,3 | 135,0 | 27,9 | 155,0 | 29,9 | 166,1 | 32,5 | 180,6 | 36,1 | 200,6 |
| 45 | | 14,2 | 52,6 | 18,4 | 68,1 | 20,9 | 77,4 | 24,0 | 88,9 | 28,2 | 104,4 | 32,4 | 120,0 | 34,8 | 128,9 | 37,9 | 140,4 | 42,1 | 155,9 |
| 60 | | 15,2 | 42,2 | 19,9 | 55,3 | 22,7 | 63,1 | 26,2 | 72,8 | 31,0 | 86,1 | 35,7 | 99,2 | 38,5 | 106,9 | 42,0 | 116,7 | 46,7 | 129,7 |
| 90 | | 17,3 | 32,0 | 22,3 | 41,3 | 25,3 | 46,9 | 29,0 | 53,7 | 34,0 | 63,0 | 39,0 | 72,2 | 41,9 | 77,6 | 45,6 | 84,4 | 50,6 | 93,7 |
| 120 | 2 | 19,0 | 26,4 | 24,2 | 33,6 | 27,2 | 37,8 | 31,1 | 43,2 | 36,3 | 50,4 | 41,5 | 57,6 | 44,6 | 61,9 | 48,5 | 67,4 | 53,7 | 74,6 |
| 180 | 3 | 21,6 | 20,0 | 27,1 | 25,1 | 30,3 | 28,1 | 34,4 | 31,9 | 40,0 | 37,0 | 45,5 | 42,1 | 48,7 | 45,1 | 52,8 | 48,9 | 58,3 | 54,0 |
| 240 | 4 | 23,7 | 16,5 | 29,4 | 20,4 | 32,8 | 22,8 | 37,0 | 25,7 | 42,8 | 29,7 | 48,5 | 33,7 | 51,9 | 36,0 | 56,2 | 39,0 | 61,9 | 43,0 |
| 360 | 6 | 26,9 | 12,5 | 33,0 | 15,3 | 36,6 | 16,9 | 41,1 | 19,0 | 47,2 | 21,9 | 53,3 | 24,7 | 56,8 | 26,3 | 61,3 | 28,4 | 67,4 | 31,2 |
| 540 | 9 | 30,6 | 9,4 | 37,1 | 11,5 | 40,9 | 12,6 | 45,6 | 14,1 | 52,1 | 16,1 | 58,5 | 18,1 | 62,3 | 19,2 | 67,1 | 20,7 | 73,5 | 22,7 |
| 720 | 12 | 33,6 | 7,8 | 40,3 | 9,3 | 44,2 | 10,2 | 49,2 | 11,4 | 55,9 | 12,9 | 62,6 | 14,5 | 66,6 | 15,4 | 71,5 | 16,6 | 78,2 | 18,1 |
| 1080 | 18 | 38,2 | 5,9 | 45,3 | 7,0 | 49,5 | 7,6 | 54,7 | 8,4 | 61,9 | 9,6 | 69,0 | 10,6 | 73,1 | 11,3 | 78,4 | 12,1 | 85,5 | 13,2 |
| 1440 | 24 | 41,9 | 4,8 | 49,3 | 5,7 | 53,6 | 6,2 | 59,1 | 6,8 | 66,5 | 7,7 | 73,9 | 8,6 | 78,2 | 9,1 | 83,7 | 9,7 | 91,1 | 10,5 |
| 2880 | 48 | 59,0 | 3,4 | 68,5 | 4,0 | 74,0 | 4,3 | 81,0 | 4,7 | 90,6 | 5,2 | 100,1 | 5,8 | 105,6 | 6,1 | 112,7 | 6,5 | 122,2 | 7,1 |
| 4320 | 72 | 72,0 | 2,8 | 82,7 | 3,2 | 89,0 | 3,4 | 97,0 | 3,7 | 107,7 | 4,2 | 118,4 | 4,6 | 124,7 | 4,8 | 132,7 | 5,1 | 143,4 | 5,5 |

Angaben in mm: Bemessungsniederschlagswerte h(n)

Angaben in l / (s ha): Regenspende R(n) mit $R(n) = h(n) \times 1,666667 / D[\text{min}]$

Toleranzbereiche:

+/- 10 % für $1 \text{ a} \leq T \leq 5 \text{ a}$

+/- 15 % für $5 \text{ a} < T \leq 50 \text{ a}$

+/- 20 % für $50 \text{ a} < T \leq 100 \text{ a}$

Datenbasis: KOSTRA-DWD-2010R des Deutschen Wetterdienstes. Die Regenspende wurde auf Basis des Bemessungsniederschlags zur jeweiligen Andauer berechnet.

Für die Richtigkeit und Aktualität der Angaben wird keine Gewähr übernommen. Erstellt 07/2022.

Starkniederschlagshöhen und -spenden gemäß KOSTRA-DWD-2010R

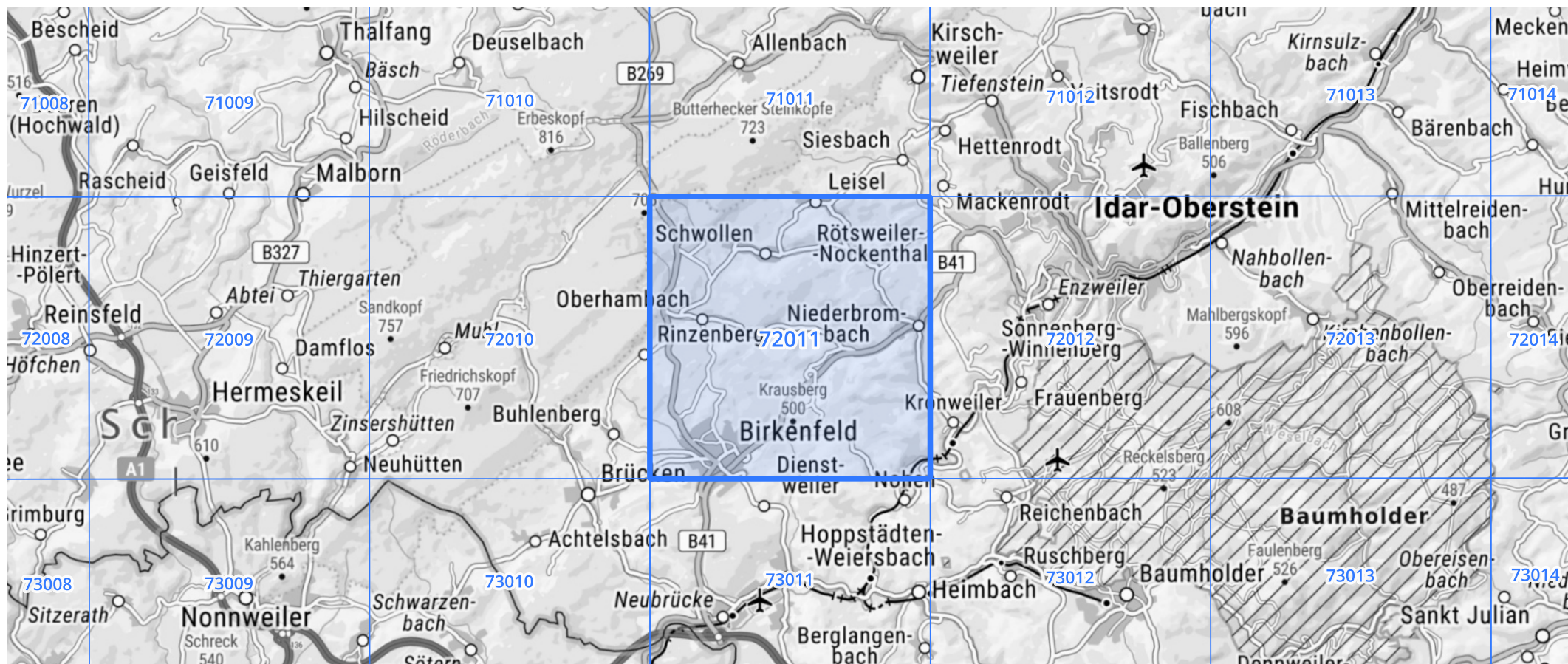
Auswertungszeitraum von 1951 - 2010, Januar - Dezember

Rasterfeld: 72011

Zeile: 72

Spalte: 11

Seite: 2/2



Quelle Rasterdaten: KOSTRA-DWD-2010R des Deutschen Wetterdienstes.

Kartendarstellung: © Bundesamt für Kartographie und Geodäsie (2022), Datenquellen: https://sgx.geodatenzentrum.de/web_public/gdz/datenquellen/Datenquellen_TopPlusOpen.html

Für die Richtigkeit und Aktualität der Angaben wird keine Gewähr übernommen. Erstellt 07/2022.